

ИОНИЗАЦИЯ РАСПЫЛЕННЫХ АТОМОВ РЕЗОНАНСНЫМ ЛАЗЕРНЫМ ИЗЛУЧЕНИЕМ ОКОЛО ПОВЕРХНОСТИ

И.В.Закурдаев, Д.Е.Миловзоров

Научно-исследовательский технологический институт
390011, Рязань

Поступила в редакцию 3 февраля 1992 г.

Предложена модель ионизации распыленного атома при его взаимодействии с электромагнитным полем лазерного излучения и поверхностью металла, позволяющая рассмотреть кинетику образования и частотную селективность выхода ионов. Показано, что возрастание вероятности ионизации имеет резонансный характер.

При распылении поверхности твердого тела ионной бомбардировкой образование вторичных ионов зависит от энергии первичных ионов, электронной структуры поверхности и распыляемого атома, а также его скорости^{1,2}. Предлагается механизм формирования заряженного состояния распыленной частицы, находящейся во взаимодействии с поверхностью и электромагнитным полем, описываемый зависящей от времени моделью Андерсена^{3,4}. Гамильтониан системы может быть представлен в форме вторичного квантования следующим образом:

$$H = E_1 c_1^\dagger c_1 + E_2 c_2^\dagger c_2 + \sum_k E_k c_k^\dagger c_k + \sum_k \sum_j (V_{jk} c_j^\dagger c_k + \text{о.с.}) + (V_{12} c_1^\dagger c_2 + \text{о.с.}).$$

Здесь E_k - энергия k -го уровня металла, E_1 и E_2 - уровни энергии атома, покидающего поверхность металла. Матричный элемент туннелирования V_{jk} зависит от времени как в результате того, что атом удаляется от поверхности со скоростью v_p , так и вследствие того, что поле электромагнитного излучения периодически изменяет высоту потенциального барьера между атомом и поверхностью: $V_{jk}(t) = V_{jk}^0 \exp(-\frac{1}{2}\gamma v_p t) \exp(-S_{\sim})$, где $\gamma = 2\dot{A}^{-1}$, $S_{\sim} = \frac{1}{\hbar} \int_0^{x_{xp}} \frac{m\delta U dx}{\sqrt{2m(U_0 - E_j)}}$, $U = U_0 + \delta U$, $\delta U = eE_p x \cos(\omega_p t)$, $\delta U \ll U_0$. Стандартным путем² уравнения $-i\dot{c} = Hc$ преобразуются в систему дифференциальных уравнений:

$$i\dot{c}_1 = E_1 c_1 + V_{12} c_2 + \sum_k V_{1k} c_k$$

$$i\dot{c}_2 = V_{21} c_1 + E_2 c_2 + \sum_k V_{2k} c_k$$

$$i\dot{c}_k = V_{k1} c_1 + V_{k2} c_2 + \sum_k E_k c_k.$$

Система может быть записана в матричной форме $i\dot{C} = -WC$, где $C = \begin{pmatrix} c_1 \\ c_2 \\ c_k \end{pmatrix}$.

Диагонализация матрицы в предположении, что $V_{ij} = V_{ji}$, $i, j = 1, 2, k$, позволяет найти ее диагональный член W_{22} . Решение уравнения c_2 находилось следующим образом: $c_2 = c_{02} \exp(-i \int W_{22} dt)$. Используя это решение, определяли величину $\langle n_2(t) \rangle = \langle c_2^\dagger(t) c_2(t) \rangle$. Выражение для $\langle n_2(t) \rangle$ имеет

вид при $\hbar w_{12} \ll E_1, E_2, \Delta_{1k} \ll \Delta_{12}, \Delta_{2k} : \langle n_2(t) \rangle \simeq n_{02} \exp(-\int \alpha(t) dt)$, где $\alpha(t) = \Delta_{12}(t) + \Delta_{2k}(t)$, n_{02} - постоянная, $\Delta_{ij} = \pi \sum_k V_{kj} V_{ik} \delta(w - \frac{E_k}{\hbar})$.

Кинетические уравнения для населенностей уровней распыленного атома имеют следующий вид ⁵:

$$\dot{n}_1 = -\Delta_{12}(n_1 - n_2)$$

$$\dot{n}_2 = -\left(\frac{2\Delta_{2k}}{\hbar}\right) (1 - f(E_2(t), T_e))n_2 + \Delta_{12}(n_1 - n_2),$$

где $f(E_2(t), T_e)$ - функция Ферми-Дирака. Распределение электронов полагалось равновесным. Решение системы для $n_2(t)$, получили

$$n_2(t) = \frac{n_0 \Delta_{12}}{B_2 - B_1} (e^{B_1 t} - e^{B_2 t}),$$

где $B_{1,2} = (\Delta_{12} - \frac{1}{2}\Delta_{2k}) \pm \sqrt{\Delta_{12}^2 \cdot \frac{1}{4}(1 - \frac{\Delta_{2k}}{2\Delta_{12}}) + \Delta_{12}\Delta_{2k}}$.

Ширина уровня в момент времени t при удалении от поверхности, а также при периодическом изменении высоты потенциального барьера, выражается так:

$$\Delta_{2k}(t) = \Delta_0 \exp(-\gamma v_p t) \cdot \exp\left(-\frac{2}{\hbar} \int_0^{x_{кр}} \frac{m\delta U dx}{\sqrt{2m(U_0 - E_2)}}\right).$$

При частоте колебаний высоты барьера меньшей, чем частота столкновений электрона со стенкой барьера, усреднение вероятности туннелирования проводится по периоду колебаний:

$$\langle \Delta_{2k}(t) \rangle = \Delta_0 w_{\pi} \int_0^{1/w_{\pi}} e^{-\gamma v_p t} \cdot e^{z \cos(w_{\pi} t)} dt,$$

где $z = \frac{m e E_{\pi} x_{кр}^2}{\hbar \sqrt{2m(U_0 - E_2)}}$. Оценка средней прозрачности потенциального барьера показывает, что вероятность резонансного туннелирования возрастает на четыре порядка. При этом условием реализации резонансного туннелирования служит соотношение $E_2(t) > E_F$ или для критического расстояния от поверхности: $x_{кр} < \frac{1}{\gamma} \ln\left(\frac{E_2(\infty) - E_2(0)}{E_2(\infty) - E_F}\right)$. Вероятность ионизации в этом случае составляла $P^+ \sim 0,1$. Это превосходит оценки вероятности ионизации обусловленной только ионным распылением $P^+ \sim 0,01 - 0,001$ ⁶.

При значении частоты колебаний населенности возбужденного уровня δ близком к частоте колебаний высоты потенциального барьера w_{π} возникает режим резонансной ионизации, при котором все возбужденные атомы ионизируются в результате резонансного туннелирования электронов с возбужденного уровня в металл. В этом случае вероятность ионизации выражается следующим образом:

$$P^+(t) \simeq P_0 e^{-ht} \cdot e^{z \cos(w_{\pi} t)} (1 - \cos(\delta t)),$$

где $h = \gamma v_p$, $\delta = \sqrt{\delta_0^2 + \Omega_R^2}$, $\delta_0 = w_{\pi} - w_{12}$, Ω_R - частота Раби. Первый множитель характеризует уменьшение вероятности ионизации при удалении атома от поверхности металла со скоростью v_p . Второй и третий множители описывают осцилляции вероятности ионизации обусловленные периодическим изменением высоты барьера и колебаниями населенности возбужденного уровня. При удалении от поверхности распыленных атомов выход вторичных ионов

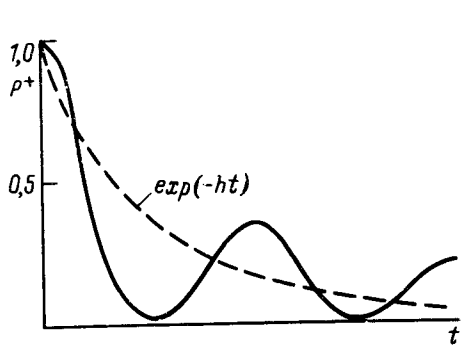


Рис.1

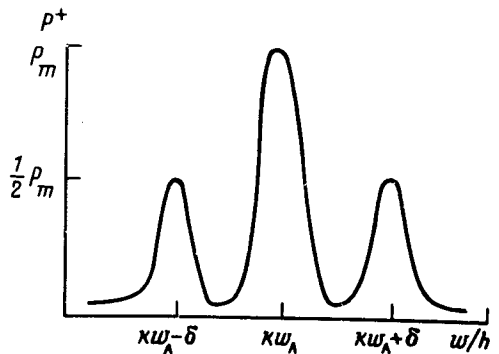


Рис.2

Рис. 1. Зависимость вероятности ионизации распыленного атома вблизи поверхности от времени при $h < w_n, \delta$

Рис. 2. "Лоренцевские" спектры вероятности ионизации атома около поверхности ($\sigma^2 = \pi P_m h$)

представляет собой интегральную величину процессов ионизации атомов при определенной частоте излучения лазера. Графики зависимостей вероятности ионизации распыленных атомов от времени удаления от поверхности и частоты излучения представлены на рис.1 и рис.2. Ширина пиков спектральной характеристики определяется величиной σ^2 . Зависимость вероятности ионизации от интенсивности излучения $P^+ \sim \exp(\sqrt{I})$ отличается от результатов работы ⁴, причиной чего является учет эффекта когерентного приготовления барьера.

При интенсивности лазерного излучения 1-10 кВт/см² за один импульс ($\tau_n \sim 10$ нс) испаряется (в результате фотодесорбции при квантовой эффективности процесса 10^{-7} - 10^{-6}) $10^6 - 10^7$ частиц, что меньше числа частиц, распыленных ионной бомбардировкой ($N \sim 10^8$ атомов при токе ионов I_{Ag} равным 1 мА, энергии ионов 5 кэВ, коэффициенте распыления $s \sim 1$). В работе ⁸ наблюдалось превышение среднего значения вторичного ионного тока импульсов тока вторичной ионной эмиссии по амплитуде импульсов к среднему значению.

Авторы благодарны А.А.Одинцову за полезные обсуждения.

1. Z.Sroubek, Spectrochim. Acta B 44, 317 (1989).
2. R.Brako and D.M.Newns, Sol. St. Comm. 55, 633 (1985).
3. R.Brako and D.M.Newns, Surf. Science 108, 253 (1981).
4. R.Kawai, K.C.Liu, D.M.Newns and K.Barnett, Surf Science 183, 164 (1987).
5. И.В.Закурдаев, Д.Е.Милвзоров, Тез. докл. 14 Межд. конф. по когер. и нелинейной оптике. Л.: 1991, 1, 127.
6. A.Wucher and H.Oechsner, Surf. Science 199, 567 (1988).
7. А.М.Бонч-Бруевич, Ю.Н.Максимов и др., ЖЭТФ 92, 285 (1987).
8. И.В.Закурдаев, Д.Е.Милвзоров и др., Тез. докл. 14 Межд. конф. по когер. и нелинейной оптике Л.: 1991, 1, 128.